第I部門外部拘束されたコンクリート床版の力学的挙動に関する数値解析的研究

大阪市立大学 学生員 ○植村 大阪市立大学大学院 学生員 亮太 松本 涼 大阪市立大学大学院 正会員 鬼頭 宏明 CORE 技術研究所 正会員 中林 将之 大阪市立大学大学院 正会員 角掛 久雄

1. 研究背景と目的

鉄筋コンクリート床版の塩害による鉄筋腐食の解決策として、カナダにおいて Compressive Membrane Action (以下 CMA): 圧縮膜機構を用いて床版内の鉄筋を省略することが提案された ¹⁾. CMA (図 1) とは、床版端部の水平移動を拘束し、面外から荷重が加わった時、床版内に圧縮力を生じ荷重に抵抗する機構を指す. 実橋梁においては、スタッドを用いて帯鋼板を固定し、外部拘束することにより、CMA を活用し荷重に抵抗する.

このように、カナダでは実施工、ならびに設計基準が整えられているものの、日本では CMA に関する研究は少なく実用化に至っていない。そこで、梁供試体による模型実験および 2 次元 FEM 解析が行われ、ひび割れ性状の検討、外部拘束による圧縮束の形成、耐力の向上の確認がされた $^{2)}$. 本研究では梁から板へ、すなわち 3 次元 FEM 解析 $^{3)}$ を通じて本来の対象である床版の挙動を検討する.

2. 研究の流れ

汎用解析ソフト DIANA の3次元非線形 FEM 解析を用いた. はじめに,上述した梁実験に対する再現解析を行い3次元非線形 FEM 解析の妥当性を検討する. そして,その検討結果を踏まえて,対象構造物である床版部材の解析を行う.

3. 再現解析

梁モデルの実験²⁾では鉄筋の有無,帯鋼板の有無を変数として計 3 体の供試体が作製された(表 1).供試体の一例として SR を図 2 に示す.実験方法は単調 3 点載荷である.解析は対称性を考慮して 1/2 領域を対象とし、コンクリートはソリッド要素,帯鋼板はシェル要素,鉄筋は埋め込み鉄筋要素とした.コンクリートと帯鋼板は頭付きスタッドにより接合されており、そのずれ変位⁴⁾も考慮した.荷重は載荷板上

面の節点に強制変位(0.01mm/Step)を与えた.解析結果(図3)より,NRモデルは良好な一致を示した. 一方,SR,SFの両モデルでは最大荷重に2割程度の 増減があるが,実験結果を良好に評価できた.また, SR,SFでは東状の面内圧縮力が見られた(図1,4). 作用

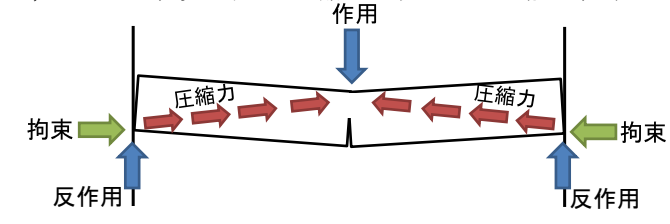


図1 CMA の原理(2次元表示)

表 1 供試体一覧

供試体	帯鋼板	鉄筋	備考	
NR	× (N)	O(R)	通常のRC部材	
SR	O(s)	O(R)	外部拘束されたRC部材	
SF	O(s)	× (F)	外部拘束された無鉄筋部材	

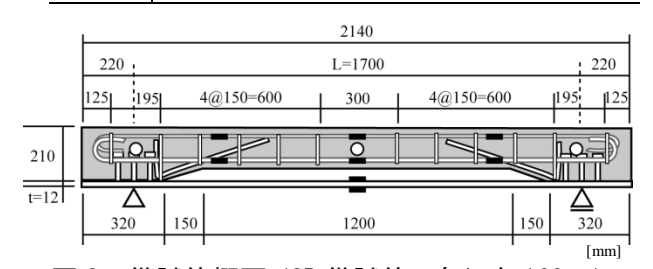


図2 供試体概要(SR供試体, 奥行き 160mm)

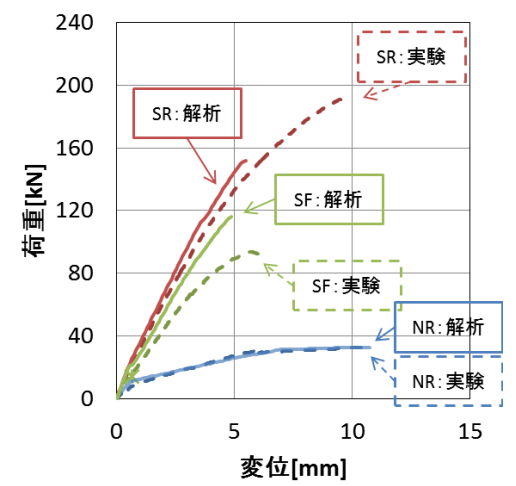
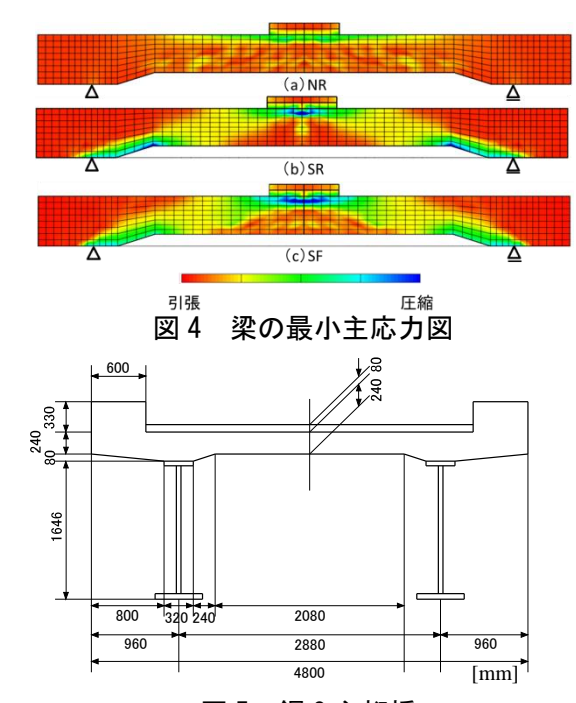
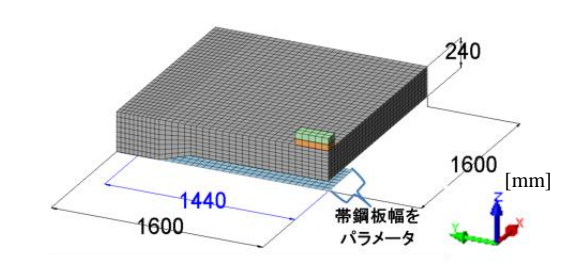


図3 梁供試体の荷重-変位関係

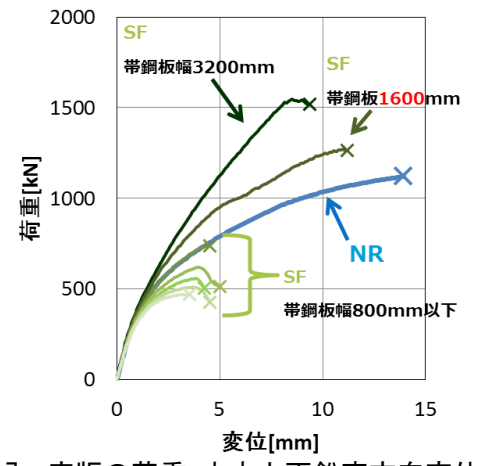
Ryota UEMURA, Ryo MATSUMOTO, Hiroaki KITOH, Masayuki NAKABAYASHI and Hisao TSUNOKAKE ryoue.0522@gmail.com



鋼2主桁橋



床版の有限要素モデル(1/4対称領域) 図 6



床版の荷重-中央上面鉛直方向変位関係 図 7

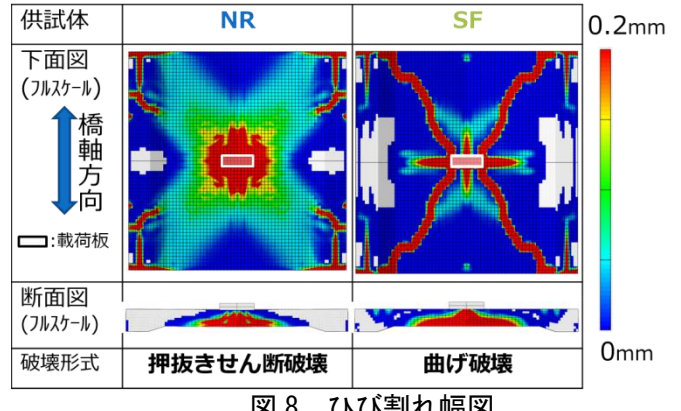


図 8 ひび割れ幅図

床版の材料定数(単位 N/mm², ポアソン比は除く)

	コンクリート		帯鋼板(t=16	i) 鉄筋 [※]
圧縮強度	40.0	降伏強度	235	345
引張強度	2.69	弾性係数	200000	200000
弾性係数	31000	ポアソン比	0.300	_
ポアソン比	0.200	※上筋(D1:	3:p'=0.5%), T	下筋(D19:p=1.2%)

4. 床版の解析

対象構造物は一般的な鋼多主桁橋を2主桁橋(図5) に縮約し張出部を省略した, 辺長 3200mm の正方形 周辺単純支持床版とした、解析は対称性を考慮し1/4 領域と(図6)し、呼称は梁実験(表1)に準じた. 荷重は輪荷重1輪相当の面積とし,載荷位置中央部と した. 使用した材料定数を表 2 に示す. まず, RC 床 版相当の NR と外部拘束を与えた無筋床版 SF の両解 析結果(図7)を示す.後者では床版の橋軸方向幅 3200mm に対して帯鋼板を全面(3200mm)に設置した ものから全く設置していないもの(0mm)まで7ケース 行った. 帯鋼板 1600mm 以上の SF で NR より耐力が 高くなった.次に帯鋼板の拘束効果について検討する. NR と SF では直接的な比較ができないため帯鋼板幅 1600mm の SR についても解析を行った. SR の耐力と NR の耐力の比より帯鋼板の拘束効果は 1.6 倍であっ た. このことから、帯鋼板の拘束効果が認められた. 得られた各破壊形式は NR, SR は押抜きせん断破壊 であったのに対しSFは曲げ破壊であった(図8).SR, SF の CMA の原理による面内圧縮膜の形状は梁での 図4と同様でかつ、帯鋼板直上だけでなく、それ以外 の範囲にも広がっていた.

5. まとめ.

- ・SF では帯鋼板を橋軸方向床版幅に対して半分程度 設置することにより従来の NR より耐力が向上し帯 鋼板による外部拘束効果が認められた.
- ・NR、SR は押抜きせん断破壊であったのに対し、SF は曲げ破壊であった.
- ・CMA の原理による面内圧縮膜の形状を考察した.
- ・帯鋼板幅 1600mm は、今後、その幅を減少させ離 散的な配置等を検討する必要がある.

参考文献

1) Newhook J., Mufti A.A., ACI Concrete International, Vol.18, No.6, June, pp.30-34, 1996 2)鬼頭ほか,構造工学論文集, Vol.63A, 2017 (印刷 3) TNO DIANA 社: DIANA マニュアル ver.10.0, 2016 4)土木 学会, 複合構造標準示方書, 2014